

## ИССЛЕДОВАНИЕ ВЛИЯНИЯ ПАРАМЕТРОВ ПОДКРЕПЛЕНИЯ НА НАПРЯЖЕННОЕ СОСТОЯНИЕ ПАНЕЛИ, ВЫЗВАННОЕ ЛОКАЛЬНЫМИ НАГРУЗКАМИ. СООБЩЕНИЕ 1

### Введение

Решение задачи получено в работе [1]\*. Ниже приведена краткая сводка результатов этой работы, приведенных к виду, удобному для вычислений. Разрешающая функция продольного перемещения  $U(x, y)$  определяется формулой

$$U(x, y) = -\frac{2P_k}{E_x h_x} \left( \frac{\bar{l} - x}{2(1 + \mu)} + \sum_{n=1}^{\infty} a_n D_n e^{-\lambda_n x} \cos \lambda_n y \right), \quad (1)$$

$$0 \leq x \leq \bar{l} = \frac{l}{kb}, \quad -1 \leq y \leq 1,$$

где  $x, y$  – безразмерные координаты точек панели, связанные с размерными  $x_0, y_0$  по формулам  $kbx = x_0, by = y_0$ ;

$l, 2b$  – размеры панели в плане;

$2P$  – действующая сосредоточенная сила, приложенная при  $x = 0, y = 0$  и направленная в сторону, противоположную оси ОХ, либо равнодействующая равномерно распределенной на отрезке  $(-a, a)$  оси  $oy_0$  ( $(-\alpha, \alpha)$  оси  $oy, \alpha = \frac{a}{b}$ ) погонной нагрузки  $q = \frac{P}{a}$ ;

$E_x, h_x$  – модуль упругости материала обшивки и приведенная толщина обшивки, работающей на нормальные ( $\sigma_x$ ) напряжения; если панель регулярно подкреплена в направлении оси  $ox$  одномерными элементами с площадью поперечного сечения  $f_x$  с шагом  $t_x$ , то

$$h_x = h + \frac{f_x}{t_x};$$

$h$  – толщина обшивки панели;  $k, \mu$  – безразмерные параметры:

---

\*Халилов С.А. Передача направленной по полету локальной нагрузки на крыльевую панель. Модель второго уровня / С.А. Халилов, С.И. Весельский, О.В. Макаров // Открытые информационные и компьютерные интегрированные технологии. :сб. науч. тр. Нац. аэрокосм. ун-та им. Н.Е. Жуковского «ХАИ». – Вып. 44. – Х., 2009. – С.80–92.

$$k^2 = \frac{E_x h_x}{Gh}, \quad \mu = \frac{EF}{E_x h_x b}.$$

Здесь  $G$  – модуль сдвига материала обшивки;  $EF$  – жесткость на растяжение-сжатие стержней, подкрепляющих пластину при  $y = \pm 1$ ;

$\lambda_n$  – корни характеристического уравнения

$$\operatorname{tg} \lambda_n + \mu \lambda_n = 0; \quad (2)$$

коэффициенты  $a_n, D_n$  определяются формулами:

$$a_n = \begin{cases} 1 & \text{– действует сосредоточенная сила,} \\ \frac{\sin \lambda_n \alpha}{\lambda_n \alpha} & \text{– действует распределенная нагрузка;} \end{cases} \quad (3)$$

$$D_n = \frac{1 + \mu^2 \lambda_n^2}{1 + \mu + \mu^2 \lambda_n^2} \cdot \frac{1}{\lambda_n (1 + \rho \lambda_n^3)}. \quad (4)$$

Здесь безразмерный параметр  $\rho$  характеризует изгибную жесткость  $E_0 I_0$  краевой балки (пояса лонжерона):

$$\rho = \frac{E_0 I_0}{Kb^3 Gh} = \frac{E_0 I_0}{b^3 \sqrt{E_x h_x Gh}}.$$

Решение (1) в силу симметрии системы и нагружения симметрично по переменной  $y$ , поэтому все дальнейшие вычисления даны при  $y > 0$ .

Компоненты напряженного состояния элементов панели определяются формулами

$$\begin{aligned} T(x, y) &= \sigma_x h_x = \frac{E_x h_x}{Kb} \cdot \frac{\partial U}{\partial x}; \\ S(x, y) &= \tau h = \frac{Gh}{b} \cdot \frac{\partial U}{\partial y}; \end{aligned} \quad (5)$$

$$R(x, y) = \sigma_y h_1 = \frac{Gh}{Kb} \left( \frac{\partial U}{\partial x} \Big|_{y=1} - \frac{\partial U}{\partial x} \right), \quad \frac{h_1}{h} = \frac{h_1}{h} \frac{1}{k^2} (T_{y=1} - T_{xy}),$$

$h_1 = h + \frac{f_c}{t_c}$  ( $f_c, t_c$  – площадь сечения и шаг стрингера);

$$\begin{aligned} N(x) &= \frac{EF}{Kb} \frac{\partial U}{\partial x} \Big|_{y=1}; \\ M_0(y) &= \frac{E_0 I_0}{b^2} \frac{\partial^2 U}{\partial y^2} \Big|_{x=0}; \end{aligned} \quad (6)$$

$$Q_0(y) = -\frac{E_0 I_0}{b^3} \left. \frac{\partial^3 U}{\partial y^3} \right|_{x=0}; \quad (7)$$

$$N_0(y) = b \int_0^1 S(x=0, y) dy - b \int_0^y S(x=0, z) dz.$$

Из формулы (5) определяются компоненты напряженного состояния обшивки панели, по формуле (6) находят усилие растяжения - сжатия в стержневых элементах (поясах нервюр). Напряженное состояние краевой балки получим из (7); в стрингерах напряжения определяются по формуле

$$\sigma_{сmp} = \frac{E_{сmp}}{E_{обш}} \left( \frac{R}{h_1} - \nu \frac{T}{hx} \right) \Big|_{x=x_{сmp}}, \quad (8)$$

где  $\nu$  – коэффициент Пуассона материала обшивки.

Изгибающий момент  $M_0(y)$  и перерезывающую силу  $Q_0(y)$  в краевой балке удобнее определять по следующим формулам:

а) действует распределенная нагрузка  $q = \frac{P}{a}$ :

$$M_0(y) = \bar{M}_0 + \frac{qy^2 b^2}{2} - b^2 \int_0^y T(x=0, S)(y-S) dS, \quad 0 \leq y \leq \alpha; \quad (9)$$

$$M_0(y) = \bar{M}_0 + q\alpha b^2 \left( y - \frac{\alpha}{2} \right) - b^2 \int_0^y T(x=0, S)(y-S) dS, \quad \alpha \leq y \leq 1;$$

$$\bar{M}_0 = \frac{qa^2}{2} - N(0)b - b^2 \int_0^1 T(x=0, y)y dy; \quad Q(y) = -\frac{1}{b} M'_0(y);$$

б) действует сосредоточенная сила  $2P$ :

$$M_0(y) = \bar{M}_0 + Pby - b^2 \int_0^y (y-S)T(x=0, S) dS;$$

$$\bar{M}_0 = -N(0)b - b^2 \int_0^1 T(x=0, y)y dy; \quad (10)$$

$$Q_0(y) = -\frac{1}{b} M'_0(y), \quad 0 \leq y \leq 1.$$

Из приведенных формул видно, что напряженно-деформированное состояние системы управляется тремя параметрами:  $K$ ,  $\rho$ ,  $\mu$  (в случае действия распределенной нагрузки добавляется еще параметр  $\alpha$ ). Основными являются параметры  $\rho$  и  $\mu$ .

## 1. Влияние на напряженное состояние панели изгибной жесткости краевой балки

Краевая балка, являясь "буферным" элементом, служит некоторым распределителем нагрузки между элементами системы. При  $\rho = 0$  (краевая балка отсутствует) передача нагрузки осуществляется обшивкой, при  $\rho = \infty$  (абсолютно жесткое тело) имеет место мгновенное включение в работу обшивки и стержней – это наиболее благоприятный случай. При исследовании влияния на НДС панели параметров  $\rho$  и  $\mu$  в качестве основной принята панель реального изделия с параметрами (рис. 1)  $l = 1800$  мм,  $2b = 585$  мм,  $2a = 160$  мм,  $h = 4$  мм.

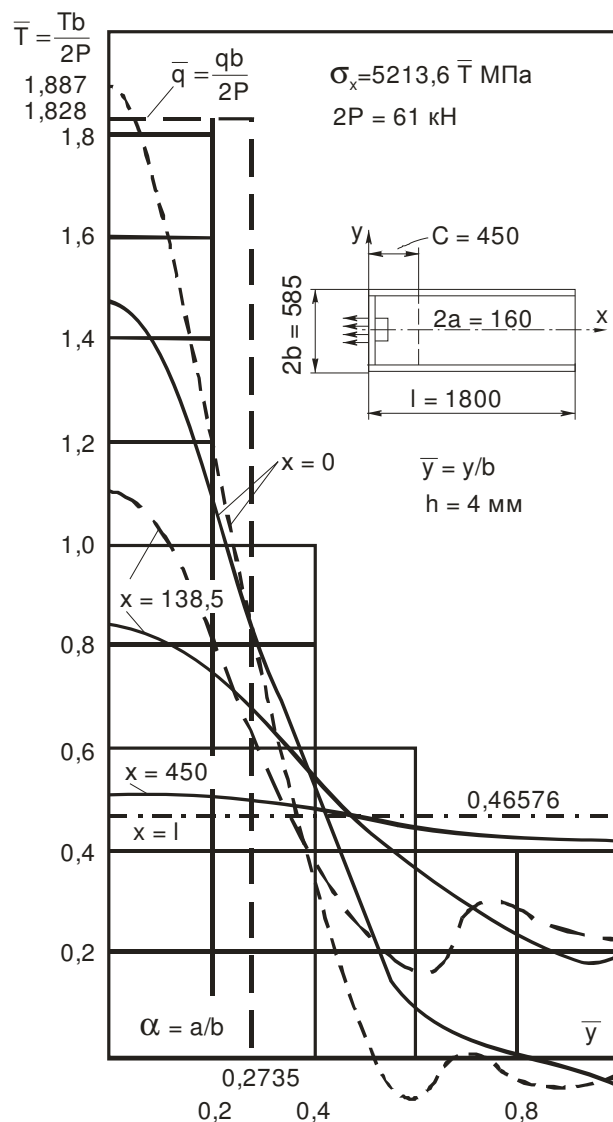


Рисунок 1 - Напряжения  $\sigma_x$  в обшивке:  
 при  $x = 138,5$  расположен 1 стрингер, при  $x = 450$  – стыковка панелей,

$$\sigma_{x\max}^{(g)} = 7640 \text{ МПа} ; \sigma_{x\max}^{(p)} = 9840 \text{ МПа} ,$$

(- - -) – при действии сосредоточенной силы

Панель в направлении оси  $oy$  подкреплена 12 стрингерами типа  $\perp$  с размерами сечения  $55 \times 4 + 14 \times 12$  (здесь и далее на втором месте даны размеры свободной полки или стенки); краевой стержень (пояс нервюры) – уголок  $20 \times 2 + 25 \times 2$ ; краевая балка (пояс лонжерона) – уголок  $61 \times 7 + 56 \times 6$ ;  $2P = 61$  кН; при  $x_0 = 138,5$  мм расположен первый стрингер; при  $x_0 = 450$  мм происходит стыковка панелей. Для данной панели исходные параметры таковы:  $\rho = 0,007$ ;  $\mu = 0,0735$ ;  $K^2 = 2,6 = 2(1+\nu)$ , где  $\nu = 0,3$  – коэффициент Пуассона,  $\alpha = 0,2735$  (при действии сосредоточенной силы  $\alpha \rightarrow 0$ ). Напряженно-деформированное состояние при этих данных можно оценить по графикам, показанным на рис. 1 – 5.

На рис. 1 изображены графики изменения напряжения  $\sigma_x$  (основного) в обшивке при  $x = 0$  (сразу за краевой балкой),  $x_0 = 138,5$  (в месте расположения первого стрингера) и при  $x_0 = 450$  (в месте стыковки панелей); графики, соответствующие действию распределенной нагрузки, показаны сплошными линиями; при сосредоточенной нагрузке – пунктирными; величина  $\bar{T} = 0,46576$  (штрихпунктирная линия) соответствует балочному решению, получающемуся при  $\rho = \infty$ . На этом же графике для сравнения приведена распределенная нагрузка с интенсивностью  $\bar{q} = \frac{qb}{2P} = 1,828$ . На отрицательные значения  $\bar{y} = \frac{y}{b}$  графики продолжаются симметрично.

Распределенная нагрузка передается через "язык", конструкция которого может (и должна) иметь значительные усиления, поэтому следует сравнивать напряжения в зоне краевой балки с напряжениями, которые наблюдаются в сечениях "языка", если бы он имел толщину стенки, равную толщине основного полотна. Тогда, как видно из графика

( $x = 0$ , сплошная линия),  $\frac{\bar{q}}{\bar{T}_{(\bar{y}=0)}} = \frac{1,828}{1,46} = 1,25$ , т.е. благодаря краевой

балке максимальная интенсивность напряжения  $\sigma_x$  уменьшается в 1,25 раза по сравнению с приложенным. Однако локальный характер нагрузки приводит к резко выраженным пиковым напряжениям, их отношение к выровненным значениям (при  $\rho = \infty$ ) равно коэффициенту концентрации напряжений  $\gamma$ . В рассматриваемом случае имеем

$\gamma = \frac{1,46}{0,4658} = 3,13$ . В зоне стыковки панелей ( $x_0 = 450$  мм) происходит

выравнивание напряжений, т.е. повышенной концентрацией напряжений

охвачена часть панели с относительной длиной, равной  $\frac{450}{1800} = \frac{1}{4}$ .

При действии сосредоточенной силы по теории в точке приложения силы получаются неограниченные напряжения. Наличие на краю "буферного" элемента в виде балки приводит к ограниченным напряжениям, хотя со значительным коэффициентом концентрации

$$\gamma = \frac{1,887}{0,4658} = 4,05.$$

Максимальные значения напряжений при  $2P = 61$  кН при действии распределенной и сосредоточенной нагрузок в зоне краевой балки равны соответственно 7640 и 9840 МПа.

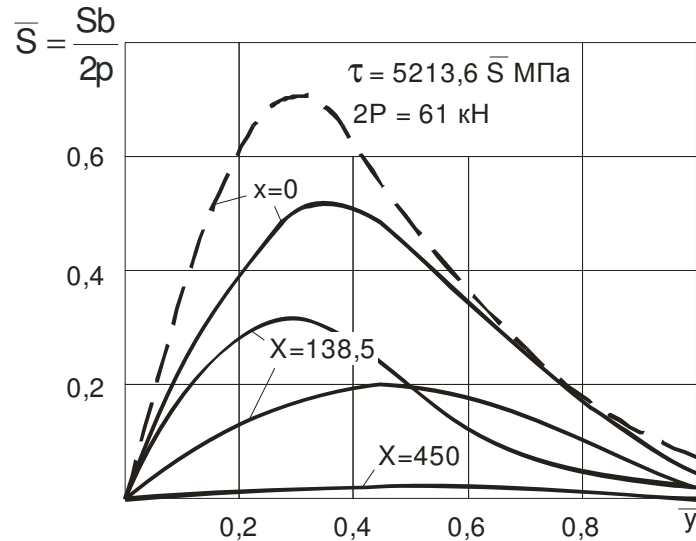


Рисунок 2 – Напряжения  $\tau$  в обшивке:  
при  $x = 138,5$  расположен 1 стрингер, при  $x = 450$  – стыковка панелей,

$$\tau_{\max}^{(q)} = 2700 \text{ МПа}; \quad \tau_{\max}^{(p)} = 3700 \text{ МПа};$$

(- - -) – при действии сосредоточенной силы

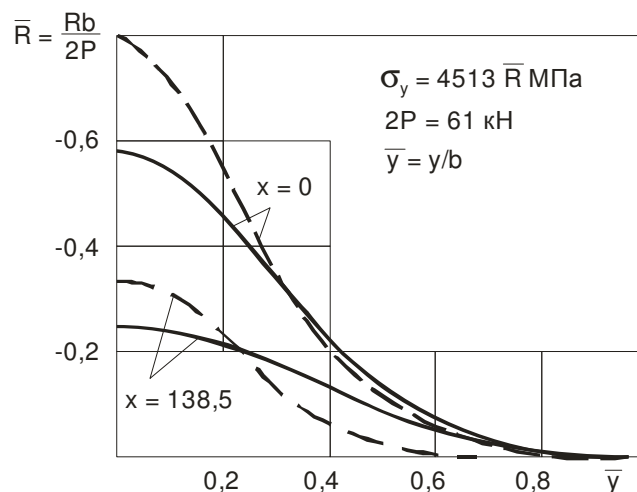


Рисунок 3 - Напряжения  $\sigma_y$  в обшивке:

$$\sigma_{\min}^{(q)} = 2640 \text{ МПа}; \quad \sigma_{y \min}^{(p)} = -3610 \text{ МПа}$$

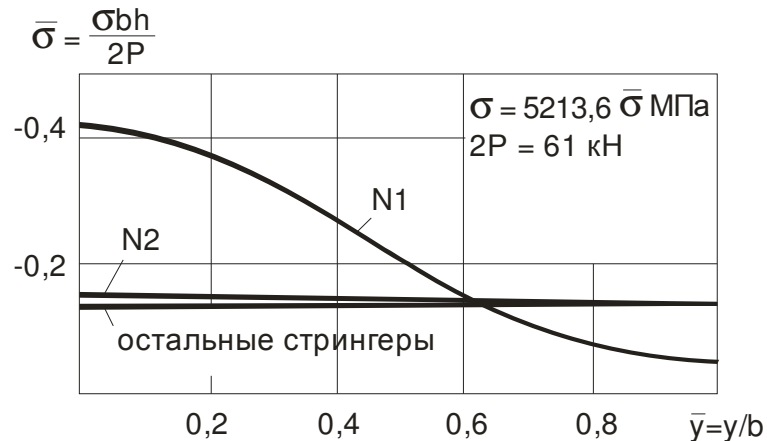
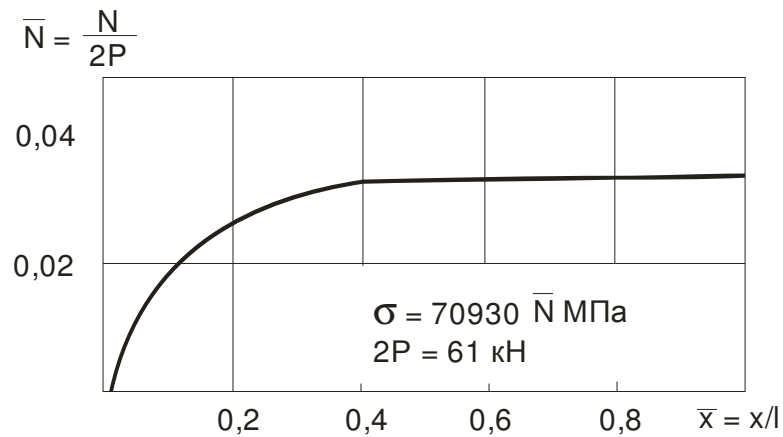


Рисунок 4 - Напряжения в стрингерах:

$\sigma_{\min}^I = -2200 \text{ МПа}$ ,  $\sigma_{\min}^{II} = -810 \text{ МПа}$ ,  $\sigma = -730 \text{ МПа}$  – остальные стрингеры

Рисунок 5 - Напряжения в поясах нервюр:  $\sigma_{\max} = 2430 \text{ МПа}$ 

На рис.2 показаны графики изменения по ширине панели касательных напряжений при различных значениях  $x$  (на отрицательные значения  $y$ , эти графики продолжаютя кососимметрично).

Ординаты максимумов кривых при малых значениях  $x$  располагаются примерно на трети полуширины пластины от ее оси симметрии, причем при действии сосредоточенной силы указанный максимум достигается раньше, чем при действии распределенной нагрузки. При  $\bar{y} = 0,3$  имеем  $\frac{\tau_{\max}(P)}{\tau_{\max}(q)} = \frac{370}{271} = 1,365$ . При  $x_0 = 450 \text{ мм}$  касательные напряжения практически обращаются в нуль.

Распределение по ширине панели нормальных напряжений  $\sigma_y$  показано на рис.3. Уровни напряжений  $\sigma_y$  и  $\tau$  совпадают, их максимальные значения от соответствующих значений напряжений  $\sigma_x$  составляют около 35...40%, что следует принимать во внимание при

оценке прочности панели. При  $x_0 = 450$  мм напряжения  $\sigma_y$  практически отсутствуют.

На рис. 4 показано изменение нормальных напряжений по длине стрингеров, а на рис. 5 – по длине поясов нервюр. Как видно из приведенных графиков, уровни этих напряжений невелики. Это объясняется тем, что при изменении  $X$  от нуля до  $X_1$  (координата расположения первого стрингера) уровень напряжений, а следовательно, и деформаций, падает почти вдвое. Нервюры же включаются в работу полностью вместе с обшивкой, которая и принимает на себя значительную часть нагрузки.

Анализ влияния параметра  $\rho$  на НДС панели начнем с графиков, показанных на рис. 6 и соответствующих распределенной нагрузке. График при  $\rho = 0,007$  соответствует реальной панели. При  $\rho = 0$  должно иметь место равенство  $\bar{T} = \bar{q}$ , но поскольку вычисления проводились с учетом конечного числа членов в рядах типа (1), то полученное решение является точным в пределах рассматриваемой модели для нагрузки, среднее значение которой приближенно равно постоянной  $\bar{q}$  на всем интервале изменения переменной  $y$ , что хорошо видно из кривой, соответствующей  $\rho = 0$ . Кроме того, следует отметить значительное влияние параметра  $\rho$ , если предположить, что величины  $\rho \gg 0,01 \approx 0,007$  реальны. На самом деле это не так, поскольку, если мы хотим добиться более или менее равномерного распределения нормальных напряжений, например, такого, как при  $\rho = 0,1$ , то окажется, что для этого необходимо увеличить изгибную жесткость реальной балки  $\rho = 0,007$  в  $\frac{0,1}{0,007} = 14$  раз, что может оказаться неприемлемым.

Поскольку речь идет о поясе лонжерона, то такое увеличение, очевидно, допустить нельзя. Таким образом, отмечая необходимость учета работы краевой балки на изгиб, в то же время необходимо подчеркнуть, что управлять процессом передачи нагрузки путем изменения в реальных пределах параметра  $\rho$  не представляется возможным. С не очень существенной погрешностью при определении напряжений (точнее, их максимального уровня) допустимо положить  $\rho = 0$ . В обсуждаемом случае эта погрешность, идущая в запас прочности, составит  $\frac{1,828 - 1,46}{1,46} = 0,25$ , т.е. 25%. Но поскольку при  $\rho = 0$  никаких упрощений в принципе не достигается, то можно рекомендовать учитывать параметр  $\rho$  независимо от его реального значения.

Для максимального значения напряжения  $\sigma_x$  (при  $x = 0$ ,  $y = 0$ ) справедлива формула



$$\sigma_x^{\max} = \frac{2P}{bh_x} \left[ \frac{1}{2(1+\mu)} + \sum_{n=1}^{\infty} \frac{1+\mu^2\lambda_n^2}{1+\mu+\mu^2\lambda_n^2} \frac{a_n}{1+\rho\lambda_n^3} \right], \quad (11)$$

где  $a_n$  определяется равенствами (3).

Первая дробь под знаком суммы очень мало отличается от единицы при  $n = \overline{1, \infty}$  (при  $n \rightarrow \infty$  она равна единице). Учитывая это, получаем более простую формулу

$$\sigma_x^{\max} = \frac{2P}{bh_x} \left[ \frac{1}{2(1+\mu)} + \sum_{n=1}^{\infty} \frac{a_n}{1+\rho\lambda_n^3} \right]. \quad (12)$$

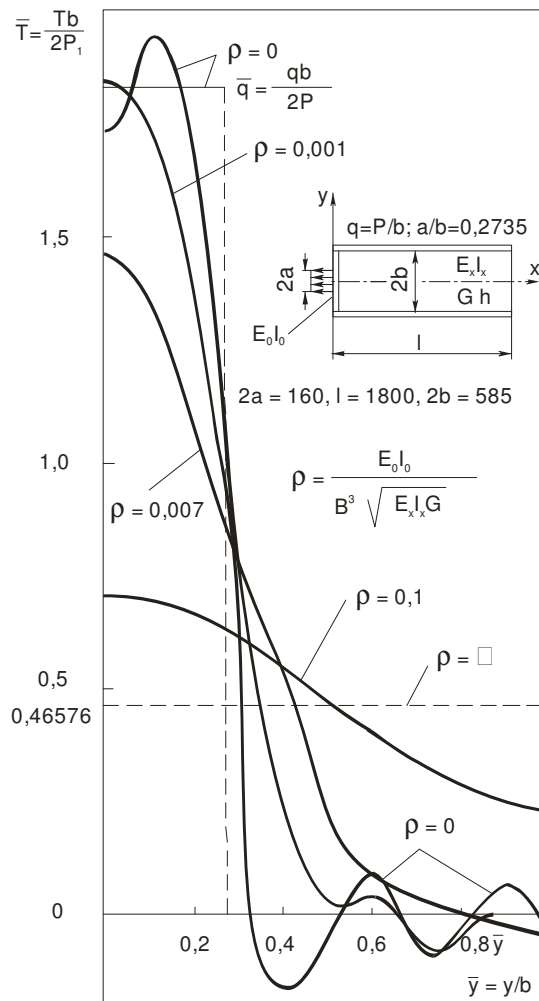


Рисунок 6 – Влияние изгибной жесткости  $E_0 I_0$  краевой балки

на напряжения:  $\sigma_x = \frac{T}{h_x}$  в панели при  $x = 0$

При  $\rho = 0$  и действии сосредоточенной силы ряд в (2) обращается в бесконечность, что соответствует теории.

Влияние параметра  $\rho$  на характер включения в работу обшивки отражено на графиках рис. 7. В данном диапазоне изменения  $\rho$  это

влияние следует признать незначительным, так как скорость затухания напряженного состояния определяется величинами  $\lambda_n = \lambda_n(\mu)$  и, прежде всего, величиной  $\lambda_1$ , которая в рассматриваемом случае равна 2,93. Таким образом, приближенно можно считать, что значение бесконечного ряда в решении (1) убывает в  $K$  раз по сравнению с его значением при  $x = 0$  (т.е. максимумом) при  $x = \frac{I_n K}{2,93 l}$  (на самом деле это происходит несколько раньше).

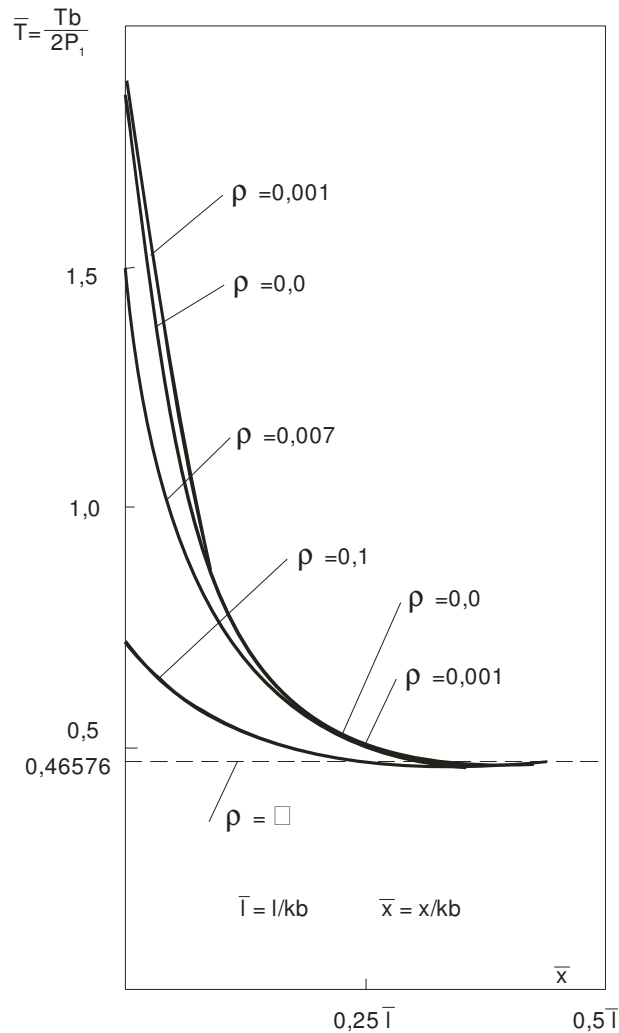


Рисунок 7 – Выравнивание напряжений  $\sigma_x = \frac{T}{h_x}$  по длине панели

при  $y = 0$  в зависимости от жесткости  $E_0 I_0$  краевой балки

*Поступила в редакцию 12.11.09.  
Рецензент: д-р техн. наук, проф. Я.С. Карпов,  
Национальный аэрокосмический университет  
им. Н.Е. Жуковского «ХАИ», г. Харьков*